<u>№ 353</u> Декабрь 2011

## НАУКИ О ЗЕМЛЕ

УДК 553.411:546.22

Е.А. Вагина

## ИЗОТОПНЫЙ СОСТАВ СЕРЫ СУЛЬФИДОВ РУД ЗОЛОТОГО МЕСТОРОЖДЕНИЯ ЧЕРТОВО КОРЫТО (ПАТОМСКОЕ НАГОРЬЕ)

Работа выполнена при финансовой поддержке ФЦП «Научные и научно-педагогические кадры инновационной России на 2009–2013 годы» Федерального агентства по образованию (ГК № П238 от 23.04.2010 г.).

Изучен изотопный состав серы сульфидов руд месторождения Чертово Корыто, локализованного в раннепротерозойской черносланцевой толще. Изотопы серы проанализированы в пирите, арсенопирите, пирротине и галените различных генераций. Разброс изотопных отношений серы в ранних и поздних сульфидах укладывается в интервал –3,8...+4,7‰, что согласуется с представлением о ее мантийном источнике.

Ключевые слова: изотопы; сера; сульфиды; золоторудное месторождение; черные сланцы.

### Введение

Соотношения стабильных изотопов химических элементов используются для суждения об источниках рудного вещества различных месторождений полезных ископаемых. При этом не всегда результаты поддаются одновариантной интерпретации. Примеры такого рода известны и распространяются на месторождения, образованные в несланцевом и особенно черносланцевом субстрате.

К представителям золоторудных объектов, локализованных, например, в черносланцевых толщах, относятся месторождения Ленского района, в том числе Сухой Лог. Согласно данным [1], величина  $\delta^{34}$ S пирита в месторождении Сухой Лог колеблется от +0,9 до +6,2‰ при среднем значении +4,7‰. Эти результаты интерпретируются авторами как свидетельство сравнительно высокой однородности изотопного состава серы рудообразующих гидротермальных растворов и близости его к метеоритному стандарту. Вместе с тем указывается, что повышенное содержание тяжелого изотопа не исключает участия в составе пиритов осадочной серы, извлеченной при рудообразовании из вмещающих пород. По обобщенным данным В.А. Буряка [2],  $\delta^{34}$ S в пирите прожилкововкрапленных руд, образованных в хомолхинской и аунакитской свитах позднего рифея Ленского района, изменяется соответственно от +7.0 и +6.2‰. При этом не указывается, относятся ли эти данные к пириту одной генерации или нет. На это важно обратить внимание, поскольку  $\delta^{34}$ S различается от +3,4 до +3,78‰ в ранней генерации пирита и до +6,08...+8,95‰ – в поздней [3].

По другим данным [4, 5], пирит прожилково-вкрапленных руд месторождения Сухой Лог имеет изотопный состав серы, изменяющийся в пределах +5,8...+10,6%, а для вкрапленного пирита за пределами рудной зоны характерно обогащение тяжелым изотопом (+12,5...+21,6%).

Для Гольца Высочайшего и Вернинского месторождений получены результаты изотопии серы со средними значениями +6,2 и +5,5‰ соответственно [4]. Авторами также исследована рассеянная вкрапленность пирита в гранитах Константиновского штока и отмечена близость изотопного состава серы сульфидов месторож-

дения Сухой Лог — Вернинское и сульфидов Константиновского штока. На основании выполненных исследований сделан вывод, что источником металлоносных флюидов служили подрудные области высокотемпературного метаморфизма и гранитизации. Как видно из приведенных данных, имеются расхождения в результатах, а следовательно, и в их интерпретации. Следует подчеркнуть, что значения  $\delta^{34}$ S, соответствующие метеоритному стандарту ( $\pm 5$ %), рассматриваются упомянутыми авторами в рамках гранитогенной концепции.

Наиболее убедительные выводы о происхождении металлоносных растворов могут быть получены посредством сравнения изотопных данных с другими независимыми фактами.

В статье приведен пример подобного сравнительного исследования, выполненного в месторождении Чертово Корыто.

# Краткий очерк геологического строения месторождения

Месторождение расположено на севере Патомского нагорья в бассейне р. Б. Патом (рис. 1). Мощная (до 150 м) рудная залежь образована в раннепротерозойской углеродистой толще терригенных сланцев михайловской свиты и сложена метасоматитами березитпропилитовой формации с жильно-прожилково-вкрапленной сульфидно-кварцевой минерализацией. В кварцевых жилах и прожилках сульфиды встречаются эпизодически. Преобладают пирит, арсенопирит, пирротин, в качестве несущественной примеси в сульфидно-кварцевых комплексах участвуют галенит, сфалерит, халькопирит, микропримеси кобальтина, самородного свинца, ульманита, теллуровисмутита, валлериита. Преобладает свободное золото в кварце. Более подробно строение месторождения описано в статьях [6, 7].

# Материал для анализа изотопов серы и методика исследования

Образцы керна, содержащие сульфидную минерализацию, измельчались до +0.25 мм, затем пропуска-

лись через бромоформ с целью отделения легкой фракции и дополнительно разделялись на магнитную и немагнитную части с использованием магнита. Затем полученные концентраты сульфидов (пирит, арсенопирит, пирротин, галенит) чистились под бинокулярным микроскопом. Отбор осуществлялся с учетом генетической принадлежности сульфидов.

Выделено 4 генерации пирита, 2 генерации арсенопирита и 3 генерации пирротина [8].

Пирит. Пирит I распространен в углеродистой зоне метасоматического ореола в виде мелких кристаллов с четкими гранями размером до 0,5 см или же в форме мелких прожилков. Для пирита II характерно развитие цепочечных скоплений в маломощных кварц-карбонатных прожилках в форме кубических метакристаллов размером до 1 см с четкими гранями. Пирит III из кварцевых жил развит в виде зернистых агрегатов и обладает большим разнообразием морфологических типов кристаллов. Для пирита IV, образованного в процессе замещения пирротина, характерно развитие марказит-пиритовых агрегатов. Для проведения изотопных исследований непригоден.

Арсенопирит. Весьма распространенный сульфид в рудах месторождения, присутствует во всех частях рудной залежи. Контур рудного тела вписывается в аномалии мышьяка. По физическим свойства выделено 2 генерации. Арсенопирит I присутствует в породе в виде метакристаллов короткопризматической формы с четко выраженными гранями. Арсенопирит II расположен в кварцевых жилах и прожилках в виде зернистых агрегатов. Встречается редко.

Пирротин. Присутствует в трех генерациях. Пирротин I развит в углеродистой зоне метасоматического ореола в виде штриховых выделений, параллельных сланцеватости. Прослеживается по всему разрезу. Пирротин II присутствует в маломощных кварц-карбонатных прожилках в виде плотных скоплений. Пирротин III распространен в мощных кварцевых жилах в форме зернистых масс.

**Галенит.** Встречается редко в виде гнездовых выделений в кварцевых жилах.

На основании выделенных генераций сульфидов, их взаимоотношений предварительно выделены минеральные комплексы руд (табл. 1).

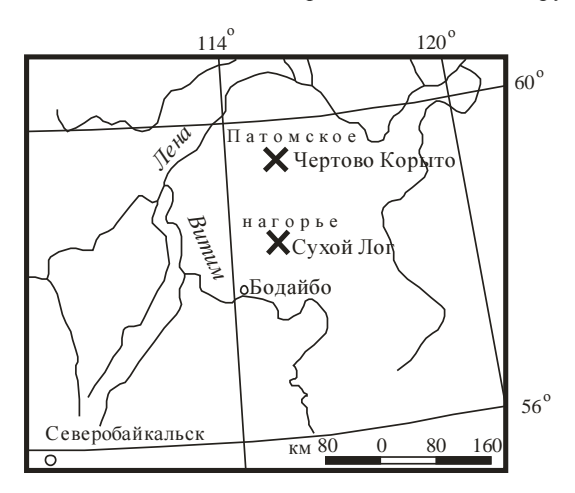


Рис. 1. Схема расположения месторождения Чертово Корыто

Таблица 1

#### Минеральные комплексы руд месторождения Чертово Корыто

Минеральный комплекс	Состав	
Кварц-пирит-пирротиновый	Кварц, пирит I, пирротин I, халькопирит I	
Кварц-пирит-арсенопирит-пирротин-карбонатный	Кварц, пирит II, арсенопирит I, золото, пирротин II, сфалерит, халькопирит II, карбонаты	
Кварц-пирит-арсенопиритовый	Кварц, пирит III, арсенопирит II, золото	
Галенит-сфалерит-пирротин-халькопирит- карбонатный	Кварц, галенит, сфалерит II, золото, пирротин III, халькопирит III, карбонаты	
Кварц-карбонатный (безсульфидный)	Кварц, карбонаты	

Анализы выполнены в лаборатории стабильных изотопов Аналитического центра Дальневосточного отделения Российской академии наук (г. Владивосток), аналитик Т.А. Веливецкая. Подготовка образцов для масс-спектрометрического изотопного анализа серы проведена по методике В.А. Гриненко [9]. Измерение выполнено на изотопном масс-спектрометре Finnigan MAT 253 (ThermoFinnigan, Bremen, Germany) с использованием двойной системы напуска. Вес анализируемых образцов 10 мг. Погрешность определения  $\delta^{34}$ S (1 $\sigma$ ) составляет 0,1‰,  $\sigma$  = 5. В качестве стандарта использован троилит метеорита Каньона Дьябло (CDT).

### Результаты исследования

Для пиритов различных генераций характерен незначительный разброс значений  $\delta^{34}$ S, изменяющийся в пределах -0,2...+4,7% со средним значением +3,25%. Для арсенопиритов интервал более узок и составляет -3,8...+1,3%. Пирротинам свойственны значения, изменяющиеся в пределах +2,7...+7,1%. Как видно из полученных результатов, для пирита и арсенопирита свойственны значения изотопных соотношений серы, укладывающиеся в интервал -3,8...+4,7%. В сравнении с пиритом сера арсенопирита имеет более облегченные

значения. Значительно отличаются изотопные отношения раннего пирротина. Сера в нем обогащена тяжелым изотопом (+6.9%, +7.1%). Для более позднего сульфи-

да — галенита — свойственны изотопные отношения серы (+1,8%, +2,5%) приближенные к метеоритному стандарту (табл. 2).

Таблица 2 Изотопный состав серы сульфидных минералов в рудах месторождения Чертово Корыто

№ образца	Минерал	Тип минерализации	δ <sup>34</sup> S, ‰ (CDT)
89-77,2	Пирит I	Мелкие кристаллы пирита, рассеянные в породе	+4,7
195-144,0 194-83,4 194-112.0	Пирит II	Кубические кристаллы пирита в сопровождении кварц-карбонатных прожилков из центральной части рудного тела	+2,3 +3,4 +2,4
307-43,0			-0,2
82-72,0 193-141,0	Пирит III	Зернистые агрегаты из маломощных кварцевых жил центральной части рудного тела	+1,7
194-167,4 306-52,8	Арсенопирит I	Метакристаллы короткопризматической формы в углеродистой зоне мета- соматического ореола из центральной части рудного тела	+0,3 -3,8
85-99,4			+0,8
84-44,0 195-121,0	Арсенопирит II	Зернистые агрегаты арсенопирита из кварцевых жил центральной части рудного тела	+0,9
84-153,3 192-227,9	Пирротин I	Штриховые выделения пирротина в терригенной толще пород, расположенные по сланцеватости	+6,9 +7,1
84-84,5	Пирротин II	Зернистые агрегаты из кварцевых жил центральной части рудного тела	+4,0
195-144,0	Пирротин III	Пирротин в ассоциации с кубическими кристаллами пирита в сопровождении кварц-карбонатных прожилков из центральной части рудного тела	+2,7
194-161,5	Галенит	Гнездовые выделения галенита в кварцевых жилах	+1,8
195-48,3	Галенит		+2,5

### Обсуждение результатов и выводы

Изотопные отношения серы сульфидов месторождения изменяются в пределах –3,8...+4,7‰, что соответствует представлению о мантийном ее происхождении. Наиболее ранним (пирит I) и более поздним (галенит) сульфидам свойственны значения изотопов серы +4,7; +1,8 и +2,5‰ соответственно. Это показывает однородность источника серы в процессе рудообразования начиная с раннего комплекса и кончая поздними выделениями сульфидов в кварцевых жилах. Более положительные отношения изотопов серы пирротина I (+6,9‰, +7,1‰), вероятно, можно объяснить смешением ювенильной серы с серой осадочного генезиса или фракционированием изотопов серы в условиях ее дефицита.

Полученные результаты хорошо соотносятся с данными по другим объектам. Сера галенита из жил Кедровского рудного поля, например локализованных в углеродистых сланцах, имеет в среднем  $\delta^{34}S = +3,6\%$  при диапазоне вариаций от 8,5 до 1,0% [1]. Из этих данных авторы делают вывод о высокотемпературном гомогенном, скорее всего, глубинном источнике серы и рудного вещества. Позднее было подтверждено, что изотопный состав серы пирита из околорудных березитов и лиственитов Кедровского рудного поля близок к приведенным данным (-0,2...+3,0%) [10]. Изотопный состав серы игольчато-призматического арсенопирита и глобулярно-кристаллического пирита раннего этапа минерализации золото-сульфидных руд месторождений Восточного Казахстана, расположенных в черно-

сланцевых карбонатно-терригенных породах карбона, отвечает интервалу значений  $\delta^{34}S=0,0...-3,3\%$  [11]. Изотопный состав арсенопирита и пирита второй продуктивной ассоциации характеризуется более легкой серой (-7,7...-10,2‰), что, по мнению авторов, связано с процессами ее фракционирования в условиях повышенной фугитивности кислорода на позднем этапе рулоотложения.

Полученные значения для сульфидов месторождения Чертово Корыто согласуются с изотопными отношениями серы месторождений, локализованных и в несланцевом субстрате. Так, согласно И.А. Загрузиной с соавт. [1], изотопный состав серы галенита, сфалерита, халькопирита, пирита в разных рудных жилах Ирокиндинского рудного поля и на разных гипсометрических уровнях примерно одинаков. Среднее значение  $\delta^{34}$ S для различных жил изменяется от -3.5 до -2.7% при вариации значений  $\delta^{34}$ S не более  $\pm 3.5\%$ . Кроме того, наблюдается утяжеление серы по мере приближения (от 1.5-1.0 до 0.5 км) к глубинному разлому [10].

Изотопные значения серы сульфидов месторождения Чертово Корыто соотносятся с наличием контрастных аномалий фемофильных элементов (P, Ti, Mg, Fe, Ca, Mn) в ближнем обрамлении рудоконтролирующего разлома [12]. Ті накапливался в форме рутила и лейкоксена в рудах и метасоматитах, Р присутствует в составе апатита, Mg Fe, Ca, Mn входят в состав карбонатов (анкерита). Кроме того, в месторождении описаны внутрирудные дайки умеренно-щелочного базитового состава [7]. Такие дайки-флюидопроводники известны

и в месторождениях, локализованных в несланцевом субстрате (Берикульском, Кедровском, Каралонском, Холбинском и др.) [13, 14]. Перечисленные факты свидетельствуют о раствороподводящей функции и глубинном статусе рудоконтролирующего разлома, об активном базальтовом магматизме в период рудообразования с импульсным режимом внедрения в верхние горизонты земной коры расплавов и металлоносных растворов.

Таким образом, контроль месторождения глубинным разломом, наличие внутрирудных даек умереннощелочного базитового состава, контрастные аномалии фемофильных элементов в околорудных метасоматитах и рудах, изотопные значения серы, близкие к метеоритному стандарту, — все эти факты в их сочетании служат доказательством генетической связи рудообразования с умеренно-щелочным базальтовым магматизмом.

#### ЛИТЕРАТУРА

- 1. Загрузина И.А., Голубчина М.Н., Миронюк Е.П. и др. Изотопный состав серы сульфидов некоторых золоторудных месторождений зоны БАМ // Записки Всесоюзного минералогического общества. 1980. Ч. 109, вып. 3. С. 290–300.
- 2. Буряк В.А. Пространственно-временная эволюция состава изотопов серы золоторудных месторождений среди углеродистых толщ // Доклады АН СССР. 1987. Т. 295, № 1. С. 160–164.
- 3. Левицкий В.В., Викулова Л.П., Демина Б.Г. и др. Сравнительный анализ золото-углеродисто-сульфидно-кварцевых руд металлорганических соединений // Доклады АН СССР. 1980. Т. 255, № 6. С. 1471–1474.
- 4. *Кряжев С.Г.*, *Устинов В.И.*, *Гриненко В.А.* Особенности флюидного режима формирования золоторудного месторождения Сухой Лог по изотопно-геохимическим данным // Геохимия. 2009. № 10. С. 1108–1117.
- 5. Иконникова Т.А. Поведение стабильных изотопов (O, C, S) в гидротермально-метасоматическом рудообразовании на месторождении Сухой Лог: дис. ... канд. геол.-минер. наук. М., 2010. 123 с.
- 6. *Кучеренко И.В., Гаврилов Р.Ю., Мартыненко В.Г., Верхозин А.В.* Структурно-динамическая модель золоторудных месторождений, образованных в несланцевом и черносланцевом субстратах. Ч. 2. Месторождение Чертово Корыто (Патомское нагорье) // Известия Томского политехнического университета. 2008. Т. 314, № 1. С. 23–38.
- 7. Гаврилов Р.Ю., Кучеренко И.В., Мартыненко В.Г., Верхозин А.В., Мартынова Т.Е. Объемная геолого-геохимическая модель мезотермального золоторудного месторождения Чертово Корыто (Патомское нагорье) // Известия Томского политехнического университета. 2009. Т. 315, № 1. С. 30–43.
- 8. *Вагина Е.А., Рудмин М.А.* Кристалломорфология и термоэлектрические свойства пирита и арсенопирита в золоторудном месторождении Чертово корыто (Патомское нагорье) // Известия Томского политехнического университета. 2010. Т. 317, № 1. С. 66–73.
- 9. Гриненко В.А. Приготовление двуокиси серы для изотопного анализа // Журнал неорганической химии. 1962. № 7. С. 2578–2582.
- 10. Кучеренко И.В. Магматогенное золотое оруденение в структурах допалеозойской складчатости (на примере южного обрамления Сибирской платформы): дис. . . . д-ра геол.-минер. наук. Томск, 1991. Т. 1. 243 с.
- 11. Ковалев К.Р., Калинин Ю.А., Наумов Е.А. и др. Золотоносность арсенопирита золото-сульфидных месторождений Восточного Казахстана // Геология и геофизика. 2011. Т. 52, № 2. С. 225–242.
- 12. Кучеренко И.В., Гаврилов Р.Ю., Мартыненко В.Г., Верхозин А.В. Новые данные о фемофильной специализации золотоносных березитов // Известия Томского политехнического университета. 2009. Т. 315, № 1. С. 26–29.
- 13. Кучеренко И.В. Петрологические и металлогенические следствия изучения малых интрузий в мезотермальных золоторудных полях // Известия Томского политехнического университета. 2004. Т. 307, № 1. С. 49–57.
- 14. *Кучеренко И.В., Гаврилов Р.Ю., Мартыненко В.Г., Верхозин А.В.* Структурно-динамическая модель золоторудных месторождений, образованных в несланцевом и черносланцевом субстратах. Ч. 1. Берикульское месторождение (Кузнецкий Алатау) // Известия Томского политехнического университета. 2008. Т. 313, № 1. С. 12–26.

Статья представлена научной редакцией «Науки о Земле» 12 сентября 2011 г.